



# TGF-β1反义寡核苷酸对食管鳞癌细胞EC9706增殖及凋亡的影响

张红燕, 李珊珊, 孙洋, 王新华, 阎爱华, 王小军

## ■背景资料

食管癌是世界范围内, 特别是中国河南省死亡率较高的恶性肿瘤之一, 严重危害人们的生命健康。因此研究食管癌的发病机制对于降低肿瘤患者的死亡率尤为重要。

张红燕, 李珊珊, 孙洋, 王新华, 王小军, 郑州大学第一附属医院病理科 河南省肿瘤病理重点实验室 河南省郑州市 450052

阎爱华, 郑州大学基础医学院癌前研究室 河南省郑州市 450052

张红燕, 主治医师, 主要从事食管癌的基础与临床研究。

河南省重点科技攻关基金资助项目, No. 072102310042

作者贡献分布: 此课题由李珊珊设计主持; 张红燕与孙洋操作完成并撰写论文; 王新华、阎爱华及王小军进行数据处理。

通讯作者: 李珊珊, 教授, 450052, 河南省郑州市二七区建设东路1号, 郑州大学第一附属医院病理科. lsspath@yahoo.com.cn 电话: 0371-65032580

收稿日期: 2009-10-21 修回日期: 2009-11-15

接受日期: 2009-11-16 在线出版日期: 2009-12-08

## **TGF-β1 antisense oligonucleotide ASODN promotes cell proliferation but inhibits apoptosis in human esophageal squamous cell carcinoma cell line EC9706**

Hong-Yan Zhang, Shan-Shan Li, Yang Sun, Xin-Hua Wang, Ai-Hua Yan, Xiao-Jun Wang

Hong-Yan Zhang, Shan-Shan Li, Yang Sun, Xin-Hua Wang, Xiao-Jun Wang, Department of Pathology, the First Affiliated Hospital of Zhengzhou University, Henan Key Laboratory of Tumor Pathology, Zhengzhou 450052, Henan Province, China

Ai-Hua Yan, Department of Precancerous Diseases, Basic Medical College, Zhengzhou University, Zhengzhou 450052, Henan Province, China

Supported by: the Key Science and Technology Program of Henan Province, No. 072102310042

Correspondence to: Professor Shan-Shan Li, Department of Pathology, the First Affiliated Hospital of Zhengzhou University, 1 Jianshe East Road, 27 District, Zhengzhou 450052, Henan Province, China. lsspath@yahoo.com.cn

Received: 2009-10-21 Revised: 2009-11-15

Accepted: 2009-11-16 Published online: 2009-12-08

## **Abstract**

**AIM:** To investigate the effects of transforming growth factor-beta 1 antisense oligonucleotide ASODN (TGF-β1-ASODN) on cell proliferation and apoptosis in human esophageal squamous cell carcinoma cell line EC9706.

**METHODS:** EC9706 cells were transfected with chemically synthesized TGF-β1-ASODN. The

expression of TGF-β1 mRNA and protein was detected by reverse transcription-polymerase chain reaction (RT-PCR) and flow cytometry, respectively. Cell morphological changes were observed. The proliferation and apoptosis of EC9706 cells were measured by methyl thiazolyl tetrazolium (MTT) assay and flow cytometry, respectively.

**RESULTS:** After TGF-β1-ASODN transfection, the expression levels of TGF-β1 mRNA and protein in EC9706 cells were significantly lower than those in untransfected EC9706 cells ( $0.25 \pm 0.07$  vs  $0.43 \pm 0.09$  and  $35.35\%$  vs  $41.38\%$ , respectively; both  $P < 0.05$ ). TGF-β1-ASODN transfection could stimulate proliferation and inhibit apoptosis of EC9706 cells. After transfection, EC9706 cells lost their normal morphology. Compared with untransfected cells, the survival rate increased ( $109.4\%$  vs  $100.0\%$ ,  $P < 0.05$ ), the percentages of cells in  $G_1$  and  $S$  phases decreased ( $62.9\%$  vs  $66.5\%$  and  $21.3\%$  vs  $23.7\%$ , respectively; both  $P < 0.05$ ), the percentage of cells in  $G_2$  phase rose ( $14.8\%$  vs  $9.8\%$ ,  $P < 0.05$ ), and the apoptosis rate declined in cells transfected with TGF-β1-ASODN ( $0.69\%$  vs  $0.96\%$ ,  $P < 0.05$ ).

**CONCLUSION:** TGF-β1-ASODN can silence the expression of the TGF-β1 gene efficiently and specifically, and antagonize TGF-β1-mediated proliferation inhibition, cell cycle arrest and apoptosis in EC9706 cells.

**Key Words:** Esophageal squamous cell carcinoma; Transforming growth factor-beta 1; Proliferation; Apoptosis

Zhang HY, Li SS, Sun Y, Wang XH, Yan AH, Wang XJ. TGF-β1 antisense oligonucleotide ASODN promotes cell proliferation but inhibits apoptosis in human esophageal squamous cell carcinoma cell line EC9706. Shijie Huaren Xiaohua Zazhi 2009; 17(34): 3480-3485

## **摘要**

**目的:** 探讨转染TGF-β1反义寡核苷酸(TGF-β1-ASODN)对食管鳞癌细胞EC9706增殖及凋

亡的影响.

**方法:** 将化学合成的TGF-β1-ASODN转染食管鳞癌细胞EC9706, 采用RT-PCR和流式细胞术检测转染效率; 观察TGF-β1-ASODN转染后细胞形态学的改变; 采用MTT和流式细胞术检测TGF-β1-ASODN转染后对细胞增殖及凋亡的影响.

**结果:** 转染TGF-β1-ASODN可有效抑制EC9706细胞中TGF-β1的活性, 其mRNA及蛋白的表达均明显低于转染前的水平( $0.25 \pm 0.07$  vs  $0.43 \pm 0.09$ ;  $35.35\%$  vs  $41.38\%$ , 均 $P < 0.05$ ); TGF-β1-ASODN可明显促进细胞增殖、抑制细胞凋亡, 转染后细胞生长拥挤失去正常形态, 细胞存活率高于转染前( $109.4\%$  vs  $100.0\%$ ,  $P < 0.05$ ),  $G_1$ 期、S期细胞百分比低于转染前,  $G_2$ 期细胞百分比则高于转染前, 细胞凋亡率低于转染前( $62.9\%$  vs  $66.5\%$ ;  $21.3\%$  vs  $23.7\%$ ;  $14.8\%$  vs  $9.8\%$ ;  $0.69\%$  vs  $0.96\%$ , 均 $P < 0.05$ ).

**结论:** TGF-β1-ASODN可高效特异地将TGF-β1基因沉默, 并解除其抑制细胞增殖、阻滞细胞周期、促进细胞凋亡的作用.

**关键词:** 食管鳞癌; 转化生长因子β1; 增殖; 凋亡

张红燕, 李珊珊, 孙洋, 王新华, 阎爱华, 王小军. TGF-β1反义寡核苷酸对食管鳞癌细胞EC9706增殖及凋亡的影响. 世界华人消化杂志 2009; 17(34): 3480-3485

<http://www.wjgnet.com/1009-3079/17/3480.asp>

## 0 引言

转化生长因子-β(transforming growth factor beta, TGF-β)是一类多功能的多肽类细胞因子, 首先由Assoian *et al*<sup>[1]</sup>于1983年自人血小板中成功提取, 已被证实对细胞增殖分化、细胞外基质产生、血管生成以及细胞凋亡等起重要的调控作用<sup>[2]</sup>. 近年来发现, TGF-β对肿瘤的作用极其复杂且可能相互矛盾, 在肿瘤早期可抑制细胞增殖、启动细胞分化诱导凋亡; 但在肿瘤的进展期则可通过多种机制促进肿瘤的侵袭和转移<sup>[3-5]</sup>. 为探讨TGF-β1对食管鳞癌细胞的作用, 本研究运用反义寡核苷酸技术观察了TGF-β1-ASODN对食管鳞癌细胞EC9706增殖及凋亡的影响.

## 1 材料和方法

1.1 材料 食管鳞癌细胞系EC9706由中国医学科学院肿瘤医院肿瘤研究所分子肿瘤学国家重点

实验室惠赠.

### 1.2 方法

1.2.1 细胞培养: EC9706细胞在含有100 mL/L的胎牛血清、100 kU/L青霉素、100 mg/L链霉素的RPMI 1640培养基中生长, 并置于37℃, 50 mL/L CO<sub>2</sub>的条件下培养, 实验细胞均处于对数生长期.

1.2.2 TGF-β1-ASODN转染EC9706细胞: 根据文献设计合成针对TGF-β1第一启动子的反义寡核苷酸片段<sup>[6]</sup>, 启动子序列: GGC GCC GCC TCC CCC ATG CCG CCC TCC GGG, TGF-β1-ASODN: CCC GGA GGG CGG CAT GGG GG, 由北京赛百盛生物技术有限公司合成, 硫代磷酸化修饰, PAGE纯化, 纯度99.9%. 将细胞分为3组, 转染反义寡核苷酸组(ASODN); 转染试剂组(不加反义寡核苷酸仅仅加入转染试剂); 未转染组(不进行任何操作的EC9706细胞). 按KeyGen公司转染试剂说明书将TGF-β1-ASODN(0.2 g/L)转入EC9706细胞中.

1.2.3 观察转染后EC9706细胞形态学改变: 在细胞培养状态下, 用倒置显微镜分别观察各组细胞的生长状态及形态学改变.

1.2.4 RT-PCR检测EC9706细胞TGF-β1 mRNA表达: TGF-β1引物序列<sup>[7]</sup>: 上游: 5'-CACATCAGAGCTCCGAGAAG-3', 下游: 5'-GGTC CTTGCGGAAGTCAATG-3', 片段大小: 492 bp, 由北京赛百盛生物技术有限公司合成; 内参β-actin引物序列: 上游: 5'-GTGGACATCCGCAAAGAC-3', 下游: 5'-TCATAGTCCGCCTAGAAC-3', 片段大小: 281 bp, 由北京奥科生物技术有限公司合成. 按照TRIZol总RNA抽提纯化试剂盒说明(Invitrogen公司)抽提总RNA. 取1 μL总RNA加入50 μL的反应体系中, 根据OneStep RT-PCR Kit(宝生物工程公司有限公司)的说明, 在同一反应体系中同时扩增内参和目的基因. 取5 μL PCR产物, 2 g/L琼脂糖电泳, 对凝胶进行灰度扫描并对灰度值进行统计学处理.

1.2.5 流式细胞术检测EC9706细胞TGF-β1蛋白表达: 将细胞用胰酶消化, 1000 r/min离心5 min, 弃去上清; 用PBS洗2遍, 离心后弃去, 加入70%冰乙醇固定, 过夜; 取单细胞悬液 $1 \times 10^6$ /mL, 加入鼠抗人TGF-β1 mAb(北京中山金桥生物公司)工作液100 μL, 室温孵育30 min; 加入PBS 10 mL洗涤1次, 弃上清; 加入羊抗鼠FITC-IgG二抗工作液100 μL, 避光室温孵育30 min; 加入PBS 10 mL洗涤1次, 加入PBS 0.1 mL经500目铜网过滤后流式细胞仪检测TGF-β1蛋白.

## ■相关报道

Gong *et al*<sup>[8]</sup>的研究结果显示, TGF-β1可导致大肠癌细胞细胞周期受阻, 细胞生长受抑. Patel *et al*<sup>[9]</sup>的研究结果表明, TGF-β1对肝癌细胞凋亡具有诱导作用.

**■创新盘点**

TGF- $\beta$ 对肿瘤的作用极其复杂且可能相互矛盾,本研究运用反义寡核苷酸技术观察TGF- $\beta$ 1-ASODN对食管鳞癌细胞增殖及凋亡的影响,可明确TGF- $\beta$ 1对食管癌细胞的作用,并为阐明食管癌的发病机制奠定基础。

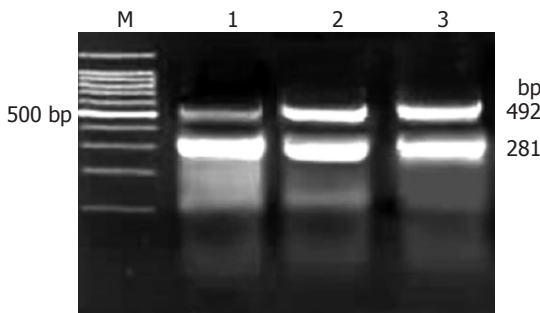
**表1 TGF- $\beta$ 1-ASODN对EC9706细胞TGF- $\beta$ 1表达的影响**

分组	TGF- $\beta$ 1 mRNA	$t$ 值	P值	TGF- $\beta$ 1蛋白		$\chi^2$ 值	P值
				细胞数	阳性率(%)		
TGF- $\beta$ 1-ASODN组	0.25 ± 0.07			5741	35.35		
转染试剂组	0.44 ± 0.09	17.085	0.002	5628	45.32	157.108	0.000
未转染组	0.43 ± 0.09	13.847	0.000	2061	41.38	23.513	0.000

**表2 TGF- $\beta$ 1-ASODN对EC9706细胞细胞周期的影响**

分组	细胞数	G <sub>1</sub> (%)	$\chi^2$ 值	P值	G <sub>2</sub> (%)	$\chi^2$ 值	P值	S(%)	$\chi^2$ 值	P值
TGF- $\beta$ 1-ASODN组	24 332	62.9			14.8			21.3		
转染试剂组	7325	65.1	11.653	0.001	10.7	79.171	0.000	24.2	27.686	0.000
未转染组	8873	66.5	15.204	0.004	9.8	93.521	0.000	23.7	1293.858	0.000

$\chi^2$ 值与P值分别为TGF- $\beta$ 1-ASODN组与各对照组之间的比值。



**图1 TGF- $\beta$ 1-ASODN转染后72 h TGF- $\beta$ 1 mRNA在EC9706细胞中的表达(492 bp)。M: Marker(100 bp); 1: TGF- $\beta$ 1-ASODN组; 2: 转染试剂组; 3: 未转染组。**

**1.2.6 四甲基偶氮唑蓝(MTT)法检测EC9706细胞增殖活性:** 将细胞按每孔 $5 \times 10^3$ 铺入96孔板, 培养24 h后进行转染, 在72 h时按常规方法加入MTT、二甲基亚砜, 用酶标仪测定各孔的 $A_{492}$ , 并计算细胞存活率(细胞存活率 = 实验组A均值/对照组A均值×100%)。

**1.2.7 流式细胞术检测EC9706细胞凋亡及细胞周期:** 细胞准备同1.2.5, 取单细胞悬液 $1 \times 10^6$ /L, 加1 mL PI(100 mg/L), 避光30 min, 流式细胞仪检测细胞凋亡及细胞周期。

**统计学处理** 所有数据均经SPSS13.0软件进行统计分析。计数资料采用阳性率表示, 阳性率之间的比较采用 $\chi^2$ 检验; 计量资料采用mean±SD表示, 2组均数的比较用t检验。显著性水准 $\alpha=0.05$ 。

## 2 结果

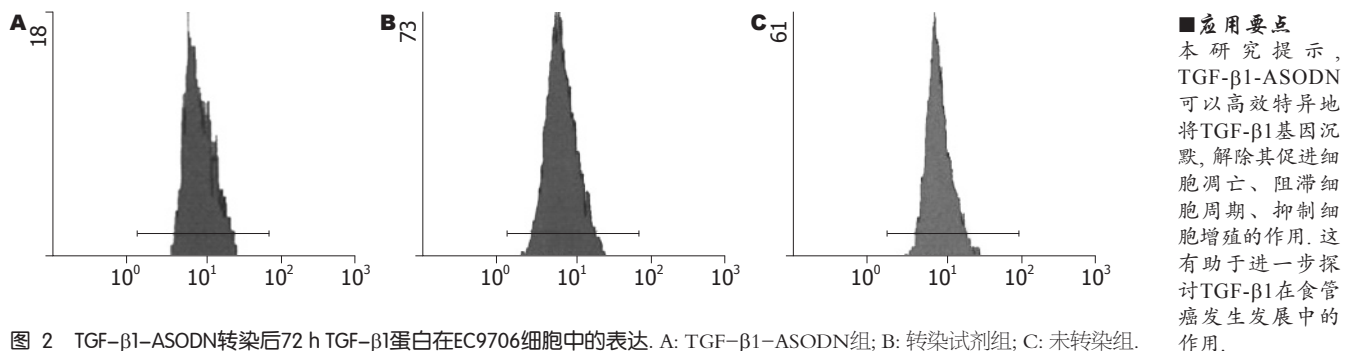
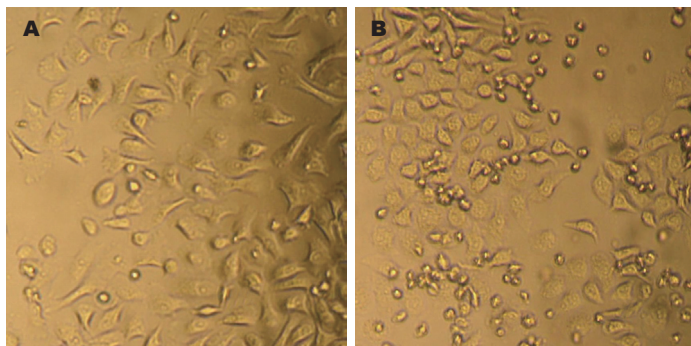
### 2.1 TGF- $\beta$ 1-ASODN对EC9706细胞TGF- $\beta$ 1的抑

制作用 RT-PCR结果显示, TGF- $\beta$ 1片段大小为492 bp(图1)。经TGF- $\beta$ 1/ $\beta$ -actin mRNA半定量分析显示, 转染TGF- $\beta$ 1-ASODN后72 h, EC9706细胞TGF- $\beta$ 1 mRNA的表达水平明显低于对照组( $P<0.01$ , 表1, 图1)。流式细胞术结果显示, 转染TGF- $\beta$ 1-ASODN后72 h, EC9706细胞TGF- $\beta$ 1蛋白阳性表达率明显低于对照组( $P<0.01$ , 表1, 图2)。以上结果表明, TGF- $\beta$ 1-ASODN可有效抑制TGF- $\beta$ 1基因的表达。

**2.2 TGF- $\beta$ 1-ASODN对EC9706细胞形态的影响** 倒置显微镜下观察发现, 未转染组部分细胞呈多边形, 部分细胞呈梭形、菱形或泪滴形, 边缘锐利, 癌细胞呈散在分布或呈片状、放射状、条索状排列, 细胞轮廓清楚, 贴壁生长, 生长旺盛。转染TGF- $\beta$ 1-ASODN组, 24 h, 癌细胞折光性减弱, 形态基本正常; 48 h, 细胞体积变小, 细胞形态变圆滑, 呈圆形、椭圆形或方形, 细胞间隙变宽, 细胞胞质减少、颗粒增多, 折光性差; 72 h, 细胞生长拥挤失去正常形态, 部分细胞死亡脱落而悬浮于培养液中(图3)。

**2.3 TGF- $\beta$ 1-ASODN对EC9706细胞增殖的影响** 流式细胞术检测细胞周期, 结果显示转染TGF- $\beta$ 1-ASODN组G<sub>1</sub>期、S期细胞较对照组减少( $P<0.01$ ), 而G<sub>2</sub>期细胞较对照组增多( $P<0.01$ , 表2, 图4); MTT法检测结果显示转染TGF- $\beta$ 1-ASODN组细胞的存活率较对照组高( $P<0.05$ , 表3)。表明TGF- $\beta$ 1-ASODN可使EC9706细胞增殖加快。

**2.4 TGF- $\beta$ 1-ASODN对EC9706细胞凋亡的影响** 流式细胞术检测细胞凋亡, 结果显示, 转染

图2 TGF- $\beta$ 1-ASODN转染后72 h TGF- $\beta$ 1蛋白在EC9706细胞中的表达. A: TGF- $\beta$ 1-ASODN组; B: 转染试剂组; C: 未转染组.图3 TGF- $\beta$ 1-ASODN转染后EC9706细胞形态. A: 未转染组; B: TGF- $\beta$ 1-ASODN组.表3 TGF- $\beta$ 1-ASODN对EC9706细胞增殖的影响

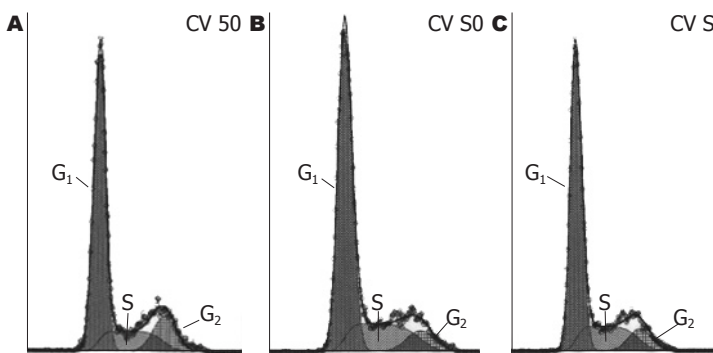
分组	A值	存活率(%)	$\chi^2$ 值	P值
TGF- $\beta$ 1-ASODN组	0.58 ± 0.11	109.4		
转染试剂组	0.53 ± 0.09	96.2	4.272	0.043
未转染组	0.53 ± 0.09	100.0	4.445	0.039

$\chi^2$ 值与P值分别为TGF- $\beta$ 1-ASODN组与各对照组之间的比值。

表4 TGF- $\beta$ 1-ASODN对EC9706细胞凋亡的影响

分组	细胞数	凋亡百分率(%)	$\chi^2$ 值	P值
TGF- $\beta$ 1-ASODN组	24 332	0.69		
转染试剂组	7325	0.95	5.306	0.021
未转染组	8873	0.96	6.154	0.013

$\chi^2$ 值与P值分别为TGF- $\beta$ 1-ASODN组与各对照组之间的比值。

图4 流式细胞术检测各组EC9706细胞周期. A: TGF- $\beta$ 1-ASODN组; B: 转染试剂组; C: 未转染组.

TGF- $\beta$ 1-ASODN组细胞凋亡率较对照组降低( $P<0.05$ ),表明TGF- $\beta$ 1-ASODN可抑制EC9706细胞凋亡(表4,图5)。

### 3 讨论

TGF- $\beta$ 在机体的胚胎发育、创伤修复、免疫调节、细胞外基质的合成和储存等方面发挥重要作用,同时也对许多细胞的生长具有调节作用。TGF- $\beta$ 对细胞的作用可表现为刺激或抑制,这主

要取决于细胞的类型、来源、分化状态和实验条件的不同。体外研究表明, TGF- $\beta$ 家族成员可抑制上皮细胞的增殖,促进细胞凋亡,但对不同的肿瘤细胞其作用还有待进一步探讨。

本研究根据文献[6]合成针对TGF- $\beta$ 1第一启动子的反义寡核苷酸(TGF- $\beta$ 1-ASODN),并进行硫代磷酸化修饰,运用阳离子聚合物瞬时转染食管鳞癌细胞EC9706,观察TGF- $\beta$ 1-ASODN对EC9706细胞增殖及凋亡的影响。RT-PCR结

## ■ 同行评价

本研究科学地观察并分析了TGF- $\beta$ 1反义寡核苷酸对食管鳞癌细胞EC9706增殖及凋亡的影响,有一定先进性和可读性。

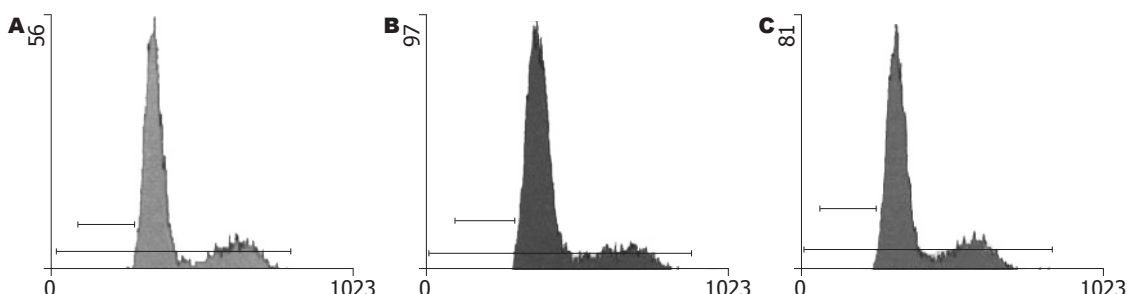


图5 流式细胞术检测各组EC9706细胞的凋亡。A: TGF- $\beta$ 1-ASODN组; B: 转染试剂组; C: 未转染组。

结果显示,转染TGF- $\beta$ 1-ASODN后24 h TGF- $\beta$ 1 mRNA的表达水平即有所下降,72 h( $0.25 \pm 0.07$ )明显低于转染前( $0.43 \pm 0.09$ ,  $P < 0.01$ ),而同一样本中TGF- $\beta$ 1-ASODN非靶向基因 $\beta$ -actin的表达未见明显变化。流式细胞术结果也显示,转染后TGF- $\beta$ 1蛋白的表达(35.35%)明显低于转染前(41.38%,  $P < 0.01$ )。以上结果表明,TGF- $\beta$ 1-ASODN可以高效特异地将TGF- $\beta$ 1基因沉默,这为进一步研究TGF- $\beta$ 1-ASODN对食管鳞癌细胞的增殖及凋亡的影响奠定了基础。

正常的TGF- $\beta$ 功能取决于正常的TGF- $\beta$ 信号通路,TGF- $\beta$ 具有抑制细胞增殖及促进凋亡的作用。TGF- $\beta$ 抑制细胞增殖主要是对细胞周期的阻滞作用<sup>[8-10]</sup>。 $G_1$ 期向S期转化是细胞周期调控的关卡,细胞一旦通过此控制点,将通过整个细胞周期。本研究结果显示,TGF- $\beta$ 1-ASODN转染EC9706细胞后, $G_2$ 期细胞明显增多,其百分比(14.8%)明显高于转染前(9.8%),而 $G_1$ 期的细胞减少,其百分比(62.9%)低于转染前(66.5%),S期细胞百分比(21.3%)也明显低于转染前(23.7%)。由此可见,TGF- $\beta$ 1-ASODN对食管鳞癌细胞EC9706中TGF- $\beta$ 1的特异性抑制,可能解除了TGF- $\beta$ 1对细胞的生长抑制,使得细胞通过 $G_1$ 期及S期,进入 $G_2$ 期,导致有更多的细胞进行细胞分裂。本研究MTT检测结果也证实转染TGF- $\beta$ 1-ASODN后72 h,细胞存活率(109.4%)明显高于转染前(100%,  $P < 0.05$ ),细胞增殖加快,提示转染TGF- $\beta$ 1-ASODN后,细胞增殖活性增强。转染之后细胞形态学的改变也提示TGF- $\beta$ 1-ASODN对TGF- $\beta$ 1基因的抑制,导致EC9706细胞增长速度加快。72 h时,细胞生长明显拥挤并失去正常形态,使得部分细胞死亡脱落而悬浮于培养液中。

TGF- $\beta$ 1不仅可抑制上皮细胞的增殖并对细胞凋亡具有诱导作用。Patel *et al*<sup>[11]</sup>的研究结果表明,TGF- $\beta$ 1对肝癌细胞凋亡具有诱导作用。本研究转染TGF- $\beta$ 1-ASODN对EC9706细胞凋亡的影

响也是显而易见的,在转染TGF- $\beta$ 1-ASODN后,细胞凋亡率降低(转染前: 0.96%, 转染后: 0.69%,  $P < 0.05$ ),表明以TGF- $\beta$ 1-ASODN沉默TGF- $\beta$ 1基因,可阻断TGF- $\beta$ 1对食管鳞癌细胞EC9706的凋亡促进作用。

对大多数上皮细胞TGF- $\beta$ 1发挥着生长抑制作用,本研究结果提示TGF- $\beta$ 1对食管鳞癌细胞EC9706也具有生长抑制及诱导凋亡的作用。TGF- $\beta$ 抑制细胞增殖的机制主要是对细胞周期的阻滞作用。TGF- $\beta$ 在 $G_1$ 期发挥调节细胞周期的作用,这些作用主要通过对细胞周期素(cyclin)、细胞周期素依赖激酶(cyclin-dependent kinase, CDK)、细胞周期素依赖激酶抑制因子(cyclin-dependent kinase inhibitor, CKI)以及c-Myc<sup>[12-13]</sup>的表达水平及功能状态进行调控,最终使pRB去磷酸化而活化,活化的pRB结合并抑制大量生长因子,导致细胞停滞在 $G_1$ 期。此外,TGF- $\beta$ 1对细胞凋亡的诱导可能通过以下途径:(1)提高细胞内组织型转谷氨酰胺酶的含量;(2)与c-Myc基因相互作用;(3)抑制RB蛋白的表达及磷酸化或与其他凋亡相关基因相互作用。这些调节过程始终离不开TGF- $\beta$ 1/Smads信号的正常转导,信号通路中任何分子的异常都可能干扰细胞周期的正常运转,从而成为肿瘤发生的诱因。TGF- $\beta$ 1-ASODN可以高效特异地将TGF- $\beta$ 1基因沉默,解除其促进细胞凋亡、阻滞细胞周期、抑制细胞增殖的作用。本研究结果显示的TGF- $\beta$ 1对食管癌细胞增殖及凋亡的影响有助于进一步探讨TGF- $\beta$ 1在食管癌发生发展中的作用。

#### 4 参考文献

- Assoian RK, Komoriya A, Meyers CA, Miller DM, Sporn MB. Transforming growth factor-beta in human platelets. Identification of a major storage site, purification, and characterization. *J Biol Chem* 1983; 258: 7155-7160
- 李珊珊. 信号转导通路与食管癌. 中华病理学杂志

- 2007; 36: 366-369
- 3 Pasche B. Role of transforming growth factor beta in cancer. *J Cell Physiol* 2001; 186: 153-168
- 4 Roberts AB, Wakefield LM. The two faces of transforming growth factor beta in carcinogenesis. *Proc Natl Acad Sci U S A* 2003; 100: 8621-8623
- 5 Wong SF, Lai LC. The role of TGFbeta in human cancers. *Pathology* 2001; 33: 85-92
- 6 Romeo D, Allison RS, Kondaiah P, Wakefield LM. Recharacterization of the start sites for the major human transforming growth factor-beta 1 mRNA. *Gene* 1997; 189: 289-295
- 7 王医术, 李玉林, 李一雷, 王心蕊, 张丽红. TGF $\beta$ 1在乳腺癌间质新生血管周细胞中的表达. 吉林大学学报(医学版) 2004; 30: 684-686
- 8 Alexandrow MG, Moses HL. Transforming growth factor beta and cell cycle regulation. *Cancer Res* 1995; 55: 1452-1457
- 9 Massagué J, Chen YG. Controlling TGF-beta signaling. *Genes Dev* 2000; 14: 627-644
- 10 Gong J, Ammanamanchi S, Ko TC, Brattain MG. Transforming growth factor beta 1 increases the stability of p21/WAF1/CIP1 protein and inhibits CDK2 kinase activity in human colon carcinoma FET cells. *Cancer Res* 2003; 63: 3340-3346
- 11 Patel T, Gores GJ. Apoptosis and hepatobiliary disease. *Hepatology* 1995; 21: 1725-1741
- 12 Warner BJ, Blain SW, Seoane J, Massagué J. Myc downregulation by transforming growth factor beta required for activation of the p15(INK4b) G(1) arrest pathway. *Mol Cell Biol* 1999; 19: 5913-5922
- 13 Hu X, Cress WD, Zhong Q, Zuckerman KS. Transforming growth factor beta inhibits the phosphorylation of pRB at multiple serine/threonine sites and differentially regulates the formation of pRB family-E2F complexes in human myeloid leukemia cells. *Biochem Biophys Res Commun* 2000; 276: 930-939

编辑 李军亮 电编 何基才

ISSN 1009-3079 CN 14-1260/R 2009年版权归世界华人消化杂志

• 消息 •

## 《世界华人消化杂志》入选北京大学图书馆 2008年版《中文核心期刊要目总览》

本刊讯 《中文核心期刊要目总览》(2008年版)采用了被索量、被摘量、被引量、他引量、被摘率、影响因子、获国家奖或被国内外重要检索工具收录、基金论文比、Web下载量等9个评价指标, 选作评价指标统计源的数据库及文摘刊物达80余种, 统计文献量达32400余万篇次(2003-2005年), 涉及期刊12400余种。本版还加大了专家评审力度, 5500多位学科专家参加了核心期刊评审工作。经过定量评价和定性评审, 从我国正在出版的中文期刊中评选出1980余种核心期刊, 分属七大编73个学科类目。《世界华人消化杂志》入选本版核心期刊库(见R5内科学类核心期刊表, 第66页)。(科学编辑: 李军亮 2009-12-08)